

УДК 539.214 : 548.4

## О КВАЗИЛОКАЛИЗАЦИОННОМ ПЕРЕХОДЕ ПРИ ДВИЖЕНИИ ДИСЛОКАЦИЙ В РЕЛЬЕФЕ ПАЙЕРЛСА

Б. В. Петухов

Распределение времен задержки перегиба на барьерах, образованных флуктуациями плотности точечных дефектов, приводит к тому, что в определенных условиях среднее время задержки расходится и соответственно средняя скорость движения перегиба обращается в нуль (квазилокализация). Проведенный расчет поведения функции распределения на больших временах задержки позволяет получить условие осуществления квазилокализационного перехода и найти количественные закономерности движения дислокации в режиме квазилокализации. Построенная теория применяется для описания особенностей движения дислокаций в монокристаллах германия.

Известно, что примеси и другие точечные дефекты кристалла оказывают сильное влияние на подвижность дислокаций и, следовательно, на пластичность материалов с высоким кристаллическим рельефом (полупроводники, металлы с ОЦК структурой и т. п.). Даже в рекордно чистых материалах собирающееся вблизи ядра дислокации избыточное содержание точечных дефектов зачастую приводит к радикальному отличию наблюдаемых закономерностей движения дислокаций от предсказываемых теорией для идеального кристалла [1].

Для описания влияния точечных дефектов на подвижность дислокаций предложен ряд теорий [2-6] и др. В частности, в работе [4] принималась простая модель, в которой учитывалось короткодействующее взаимодействие дислокации с точечным дефектом, описываемое всего лишь одним параметром — изменением энергии ядра дислокации, проходящей через дефектный узел кристалла, на некоторую величину  $U$ . При перемещении перегиба через дефектный узел энергия системы дислокация с перегибом изменяется либо на величину  $U$ , либо на величину  $-U$  в зависимости от того, приобретает дислокация точечный дефект или освобождается от него. Таким образом, барьер в этой модели представляет собой ступеньку и существует своеобразная «память» перегиба о взаимодействиях с точечными дефектами. Это качественно отличает ситуацию от обычного взаимодействия частиц с локальными потенциалами, так как может приводить к наложению барьеров от разных, даже удаленных друг от друга, точечных дефектов. Такой коллективный вклад точечных дефектов может радикально изменять подвижность перегиба, приводя при некоторых условиях к обращению в нуль средней скорости движения перегибов. Как было установлено в [4], это обстоятельство связано с медленным убыванием функции распределения  $P(\tau)$  времен задержки на барьерах, образованных флуктуациями плотности точечных дефектов  $P(\tau) \sim \tau^{-(1+\delta)}$ , так что среднее время задержки на барьере расходится при  $\delta \leq 1$ . Подобное явление впоследствии получило название «квазилокализации» и интерпретировалось аналогичным образом для прыжковой подвижности частиц в работе [7] и др.

Обращение в нуль средней скорости движения перегибов приводит к радикальному изменению характера их движения и в итоге к сильному торможению дислокаций. Макроскопическим следствием этого квазилокализационного перехода должно быть уменьшение пластичности кристалла, т. е. его упрочнение.

В работе [4] установлено, что при  $\delta < 1$  главный вклад во время прохождения перегибом некоторого отрезка длины  $L$  вносят не типичные барьеры в своей массе, а единственный барьер с самым большим временем задержки, который можно встретить на рассматриваемой длине с вероятностью, близкой к единице. Отсюда следует нелинейный закон изменения длины пробега перегиба со временем

$$L \sim t^\delta, \quad (1)$$

а для скорости дислокации получается выражение

$$V = V_0 \exp \{-E/(1 + \delta) kT\}. \quad (2)$$

Здесь  $E$  — энергия образования парного перегиба,  $T$  — температура,  $k$  — постоянная Больцмана,  $V_0$  — предэкспоненциальный множитель.

При  $\delta \geq 1$  формула (2) переходит в обычное выражение, отвечающее чистому кристаллу, с энергией активации, равной  $E/2$ ; влияние точечных дефектов при этом становится малосущественным.

Аналогичные закономерности были получены также для модели гауссовского случайного поля в [6]. В том предельном случае, когда рассмотренная в [4] модель сводится к гауссовской, полученные результаты оказываются эквивалентными.

В настоящей работе будет произведено более подробное исследование закономерностей и следствий квазилокализационного перехода в несколько более общей, чем в [4], модели, учитывающей собирание точечных дефектов дислокацией, и будет сделана попытка сопоставить это явление с наблюдаемыми на эксперименте особенностями движения дислокаций в Ge [8].

## 1. Расчет функции распределения времен задержки

Барьеры для движения перегиба создаются неоднородными флуктуациями разности числа точечных дефектов  $N(l)$  в долинах рельефа Пайерлса, связанных рассматриваемым дислокационным перегибом. Рассчитаем, следуя [4], функцию распределения  $P(\tau)$  времен задержек перегибов

$$\tau \sim \int_0^\infty \exp \left\{ \frac{U}{kT} N(l) - \frac{\sigma ab}{kT} l \right\} dl \quad (3)$$

для хаотического распределения точечных дефектов вдоль долин рельефа. Здесь  $\sigma$  — внешнее напряжение,  $a$  — постоянная решетки,  $b$  — величина вектора Бюргерса.

Развитый в [4] метод допускает простое обобщение на случай различных концентраций точечных дефектов в различных долинах рельефа, что дает возможность принять во внимание возможный избыток точечных дефектов за счет их собирания в ядре дислокации. Производя это простое обобщение, для функции  $\varphi(s)$ , являющейся лапласовским образом  $P(\tau)$

$$\varphi(s) = \int_0^\infty e^{-s\tau} P(\tau) d\tau = \left\langle \exp \left\{ -s \int_0^L \exp \left[ \frac{U}{kT} N(l) - \frac{\sigma ab}{kT} l \right] dl \right\} \right\rangle, \quad (4)$$

получаем уравнение

$$\rho_1 \varphi (s e^{U/kT}) + \rho_2 \varphi (s e^{-U/kT}) - (\rho_1 + \rho_2) \varphi(s) - s \frac{\sigma ab}{kT} \frac{d\varphi}{ds} - s \varphi(s) = 0. \quad (5)$$

Здесь  $\rho_1, \rho_2$  — линейные плотности точечных дефектов в первой и второй долинах рельефа, между которыми смещается дислокация; угловые скобки означают усреднение по расположению точечных дефектов. (Уравнение (5) выводится путем вариации (4) по  $L$  и перехода к пределу  $L \rightarrow \infty$ ).

Нас будет интересовать распределение больших времен задержки, которое определяется асимптотикой  $\varphi(s)$  при малых  $s$ . Будем искать решение уравнения (5) для малых  $s$  в виде  $\varphi(s) \sim s^\delta$ . Подставляя это выражение в (5), убеждаемся, что такое решение действительно существует, и получаем для  $\delta$  уравнение

$$\rho_1(e^{\delta U/kT} - 1) + \rho_2(e^{-\delta U/kT} - 1) = \delta \frac{\sigma ab}{kT}. \quad (6)$$

Обращая  $\varphi(s)$ , находим, что функция распределения времен задержки перегиба  $P(\tau)$  при больших  $\tau$  ведет себя как

$$P(\tau) \simeq \text{const}/\tau^{1+\delta}. \quad (7)$$

Для границы резкого торможения дислокаций точечными дефектами, отвечающей  $\delta=1$ , получаем из (6) условие

$$\sigma = \frac{kT}{ab} [\rho_1(e^{U/kT} - 1) + \rho_2(e^{-U/kT} - 1)]. \quad (8)$$

При напряжениях, меньших этого значения, скорость дислокации дается выражением (2).

Отметим, что развиваемая теория может быть легко обобщена на тот случай, когда имеется не единственный тип точечных дефектов, а целый спектр их, характеризуемый набором величин  $U_i$  и соответствующих плотностей  $\rho_{1,2}(i)$ . Для такого обобщения достаточно просуммировать полученные выражения по спектру, например условие квазилокализационного перехода (8) заменить на

$$\sigma = \frac{kT}{ab} \sum_i [\rho_1(i)(e^{U_i/kT} - 1) + \rho_2(i)(e^{-U_i/kT} - 1)].$$

Однако в настоящей работе мы ограничимся наиболее интересным предельным случаем, когда определяющий вклад в сумму по спектру дает один тип точечных дефектов.

Величина  $\delta$ , определяемая уравнением (6), линейно зависит от температуры  $\delta = \frac{kT}{U} \varphi\left(\frac{\sigma ab}{\rho_1 U}, \frac{\rho_2}{\rho_1}\right)$ , где  $\varphi$  находится из уравнения

$$\frac{1}{\varphi} \left[ e^\varphi - 1 + \frac{\rho_2}{\rho_1} (e^{-\varphi} - 1) \right] = \frac{\sigma ab}{\rho_1 U}. \quad (9)$$

Явные выражения для  $\delta$  могут быть получены в предельных случаях высоких и низких напряжений

$$\delta = \begin{cases} \frac{kT}{U} \ln \left( \frac{\sigma ab}{\rho_1 U} \ln \frac{\sigma ab}{\rho_1 U} \right), & \frac{\sigma ab}{\rho_1 U} \gg 1, \\ \frac{kT}{U} \frac{2ab}{(\rho_1 + \rho_2) U} (\sigma - \sigma_{cr}), & \frac{\sigma ab}{\rho_1 U} \ll 1. \end{cases} \quad (10)$$

Здесь  $\sigma_{cr} \equiv (U/ab)(\rho_1 - \rho_2)$  — величина, интерпретированная в работе [9] как стартовое напряжение для движения дислокаций.

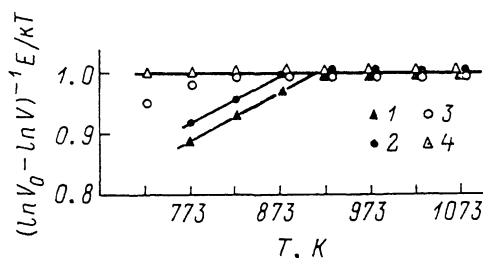
С понижением температуры или напряжения величина  $\delta$  уменьшается, и при  $\delta \ll 1$  выражение для скорости дислокации принимает вид

$$V \simeq \begin{cases} V_0 \exp \left\{ -\frac{E}{kT} \right\} \left( \frac{\sigma ab}{\rho_1 U} \ln \frac{\sigma ab}{\rho_1 U} \right)^{E/U}, & \frac{\sigma ab}{\rho_1 U} \gg 1, \\ V_0 \exp \left\{ -\frac{E}{kT} + \frac{E}{U} \frac{2ab}{(\rho_1 + \rho_2) U} (\sigma - \sigma_{cr}) \right\}, & \frac{\sigma ab}{\rho_1 U} \ll 1. \end{cases} \quad (11)$$

Таким образом, при достаточных высоких напряжениях, когда прибли-  
**нима** верхняя формула в (11), скорость дислокации, помимо экспонен-  
 циальной аррениусовской зависимости, содержит еще зависимость от на-  
 пряжения, близкую к степенной  $V \sim (\sigma \ln \sigma)^m$ , где  $m = E/U$ . При  $\sigma \rightarrow \sigma_{ст}$   
 практически останавливается направленное движение перегибов. Это,  
 в частности, проявляется в том обстоятельстве, что энергия активации  
 движения дислокации, согласно нижней формуле (11), при  $\sigma \rightarrow \sigma_{ст}$  состав-  
 ляет полную энергию образования парного перегиба и движение перегибов  
 не вносит сколько-нибудь заметного вклада в перемещение дислокации.

## 2. Сопоставление с экспериментом

Как уже отмечалось, следствием квазилокализационного перехода  
 должно являться заметное упрочнение материала при легировании. Кроме  
 того, развитая теория приводит еще к ряду предсказаний, которые могут  
 быть проверены на эксперименте. Это, во-первых, нарушение аррениусов-  
 ского закона, связанное с заменой энергии активации  $E/2 \rightarrow E/[1 +$   
 $+(k/U) T\varphi]$ ; затем скачок измеряемого активационного объема с увеличе-  
 нием его при понижении температуры ниже температуры перехода на ве-  
 личину  $(1/4) (kT/U) (E/\sigma)$ . Та-  
 кого типа аномалии нередко  
 наблюдаются при макроскопиче-  
 ских механических испытани-  
 ях материалов, однако одно-



Температурная зависимость вели-  
 чины  $(\ln V_0 - \ln V)^{-1} (E/kT)$ , по дан-  
 ным [8], для напряжений  $\tau = 1$  (1),  
 2 (2), 5 (3), 10 Н/мм<sup>2</sup> (4).

значно интерпретировать их природу затруднительно. Более деталь-  
 ную проверку теории можно было бы осуществить в экспериментах по  
 измерению подвижности индивидуальных дислокаций. Одним из возмож-  
 ных объектов приложения развитой теории являются, по-видимому, моно-  
 кристаллы германия, на которых подвижность дислокаций измерена в ши-  
 роком диапазоне температур и напряжений [2, 8, 10, 11] и др. В работе [8]  
 было обнаружено наличие резкого изменения характера движения дисло-  
 каций в районе температур  $\sim 600$  °С, так что скорость дислокаций не мо-  
 жет быть описана аррениусовским законом в полном интервале температур.  
 Наиболее заметным является переход в области низких напряжений  
 $\sigma \leq 5$  Н/мм<sup>2</sup>, в которой зависимость скорости дислокаций от напряжения  
 усиливается и может быть аппроксимирована степенной зависимостью  
 $V \sim \sigma^m$  с  $m \geq 3$ .

Отметим, что аналогичные особенности подвижности дислокаций на-  
 блюдалась также недавно в кремнии [12], причем изменение дефектной  
 структуры кристалла посредством термообработки приводит к существен-  
 ному усилению этих особенностей.

Для объяснения закономерностей движения дислокаций в Ge в области  
 низких температур и напряжений неоднократно использовалось предпо-  
 ложение о влиянии точечных дефектов [2, 3, 13]. Однако попытки описать  
 подвижность дислокаций во всем интервале температур, для которого  
 в настоящее время имеются экспериментальные данные, в рамках единой  
 теории не делалось. С целью сравнения с закономерностями, предска-  
 зываемыми теорией, изложенной в разделе 1, экспериментальные данные [8]  
 были перестроены (см. рисунок) в виде зависимости от температуры при  
 различных напряжениях величины  $(\ln V_0 - \ln V)^{-1} E/kT$ , где  $E$  и  $\ln V_0$   
 определены по высокотемпературной области, в которой аррениусовская  
 зависимость хорошо выполняется. В сконструированной таким образом  
 величине скомпенсированы обычная активационная зависимость от тем-  
 пературы, а также возможные зависимости от напряжения энергии акти-  
 вации и предэкспоненты. Согласно теории, эта величина должна равняться

1 при  $T > T^*$ , где  $T^*$  — температура перехода, и должна равняться  $(1+kT\varphi/U)/2$  при  $T < T^*$ . Как видно из рисунка, экспериментальные данные действительно описываются ломаной линией, составленной из отрезка, отвечающего постоянному значению, равному единице, и отрезка, отвечающего линейной зависимости от температуры. Так как значение  $\delta = kT\varphi/U$  в точке излома  $T = T^*$  должно равняться единице, это дает возможность по известной величине  $T^* \approx 900$  К предсказать наклон температурно-зависящего участка  $k\varphi/2U \approx 0.6 \cdot 10^{-3} \text{ К}^{-1}$ . Непосредственное измерение наклона на графике дает величину  $\approx 0.8 \cdot 10^{-3} \text{ К}^{-1}$ , что ввиду грубости модели и большого разброса данных следует считать удовлетворительным согласием. Слабая зависимость наклона от напряжения свидетельствует, по-видимому, о логарифмической зависимости от напряжения, согласно верхней формуле (10). Использование этой формулы позволяет по разности температур перехода для напряжений  $\sigma = 1$  и  $2 \text{ Н/мм}^2$ , составляющих соответственно 910 и 873 К, оценить величину  $U$  при помощи соотношения  $U = k \ln(\sigma_2/\sigma_1)/2(1/T_2 - 1/T_1)$ . Ввиду малой разницы температур перехода эта оценка не очень точна, но дает разумный порядок величины  $U \sim 0.6 \text{ эВ}$ .

Таким образом, развитая теория позволяет непротиворечиво описать экспериментально наблюдаемые особенности подвижности дислокаций в Ge в широком интервале температур и напряжений на основе представлений о приводящем к квазилокализационному переходу влиянии точечных дефектов кристалла.

Отметим в заключение еще одну интересную возможность экспериментального наблюдения квазилокализационного режима движения перегибов. В работе [14], посвященной изучению подвижности дислокаций в Si импульсной методикой, было высказано предположение, что движущей силой, приводящей к обратному движению перегибов при снятии внешнего напряжения, могут быть стартовые напряжения. В этом случае, согласно нижней формуле (10),  $\delta = (2kT/U)(\rho_1 - \rho_2)/(\rho_1 + \rho_2)$  и в типичных случаях  $\delta \ll 1$ . В то время как при прямом движении перегиба длина пробега пропорциональна длительности импульса напряжения  $t_i$ , длина пробега при обратном движении изменяется с длительностью паузы  $t_n$  по нелинейному закону  $\sim t_n^{\delta}$ . Таким образом, для того чтобы релаксация перегибов во время паузы была возможна, необходимо, чтобы длительность паузы очень резко возрастала с увеличением длительности импульса  $t_n \sim t_i^{1/\delta}$ . В работе [14] подобная резкая зависимость действительно наблюдалась, хотя интерпретировалась другим образом, но, на наш взгляд, не исключена также возможность того, что в этом эксперименте непосредственно измерялась подвижность перегибов в режиме квазилокализации.

#### Л и т е р а т у р а

- [1] Бондаренко И. Е., Никитенко В. И. В кн.: Проблемы прочности и пластичности твердых тел. Л.: Наука, 1979, с. 244—256.
- [2] Celly V., Kabler M., Ninomiya T., Thomson R. Phys. Rev., 1963, vol. 131, N 1.
- [3] Рыбин В. В., Орлов А. Н. ФТТ, 1969, т. 11, № 11, с. 3251—3259, 3603—3608.
- [4] Петузов Б. В. ФТТ, 1971, т. 13, № 5, с. 1445—1449.
- [5] Suzuki H. In: Dislocation in Solids, vol. 4. Dislocation in Metallurgy. Amsterdam: North Holland Publ. Co., 1979, p. 191—217.
- [6] Винокур В. М., Иоффе Л. Б., Сагдеев И. Р. Изв. АН СССР. Сер. физ., 1987, т. 51, № 4, с. 763—767.
- [7] Bernasconi J., Schneider W. R. Phys. Rev. Lett., 1981, vol. 47, N 23, p. 1643.
- [8] Фарбер Б. Я., Бондаренко И. Е., Никитенко В. И. ФТТ, 1981, т. 23, № 7, с. 2192—2194.
- [9] Петузов Б. В. ФТТ, 1982, т. 24, № 2, с. 439—442.
- [10] Schaumburg H. Phil. Mag., 1972, vol. 25, N 6, p. 1429—1458.
- [11] Казо И. Ф., Макара В. А., Новиков Н. Н. Металлофизика, 1980, т. 2, № 5.
- [12] Макара В. А. Препринт ИПМ-86-2. Киев, 1986. 53 с.
- [13] Möller H.-J. Acta Metall., 1978, vol. 26, N 6, p. 963—973.
- [14] Никитенко В. И., Фарбер Б. Я., Иуних Ю. Л. ЖЭТФ, 1987, т. 93, № 4 (10).

Институт кристаллографии АН СССР  
Москва

Поступило в Редакцию  
14 января 1988 г.